

УДК 621.771.251 : 621.77 : 620.18

ВЛИЯНИЕ ИНТЕНСИВНОЙ ДЕФОРМАЦИИ ПРОКАТКОЙ С ТОКОМ НА ХАРАКТЕРИСТИКИ ПАМЯТИ ФОРМЫ И СВЕРХУПРУГОЕ СОСТОЯНИЕ В СПЛАВАХ НА ОСНОВЕ TiNi

А.А. Потапова, В.В. Столяров

Показано, что прокатка с током до истинных деформаций $e > 1$ и отжиг при 450–500°C приводят к формированию структуры с размерами зерен 60–120 нм в бинарных сплавах на основе TiNi. Кроме того, полученные структурные состояния приводят к улучшению функциональных свойств таких сплавов. Так, повышается величина коэффициента восстановления деформации по сравнению с недеформированным состоянием (до 90–96% в сплаве Ti_{49,2}Ni_{50,8} и до 75–80% в сплаве Ti_{50,0}Ni_{50,0}). В сплаве Ti_{50,0}Ni_{50,0} впервые обнаружен эффект сверхупругого поведения, который не наблюдается в недеформированном состоянии.

Ключевые слова: прокатка с током, никелид титана, коэффициент восстановления, эффект сверхупругости

Введение

В последнее время обнаружено улучшение таких функциональных свойств, как полностью обратимая деформация и максимальные реактивные напряжения в сплавах с термоупругими мартенситными превращениями, имеющих ультрамелкозернистую структуру, по сравнению с крупнозернистыми аналогами [1, 2]. Одним из методов создания такой структуры является интенсивная пластическая деформация. Недавно разработанная технология, основанная на сочетании электроимпульсной обработки и пластической деформации (прокатки), позволяет решить эту задачу применительно к труднодеформируемым сплавам на основе TiNi, улучшая при этом деформируемость и не оказывая существенного термического воздействия [3]. С использованием этого метода удается повысить деформируемость сплавов с памятью формы в 1,5–3 раза [4]. Однако вопрос о влиянии электростимулированной прокатки на свойства памяти формы сплавов на основе

TiNi недостаточно исследован. В связи с этим целью настоящей работы являлось определение функциональных свойств сплавов с памятью формы на основе TiNi, подвергнутых прокатке с током.

Методика исследования

Материалом для исследования служили сплавы на основе TiNi двух составов Ti_{49,2}Ni_{50,8} и Ti_{50,0}Ni_{50,0} (эквиатомный состав), при комнатной температуре находящиеся в состоянии B2-аустенита и B19' – мартенсита соответственно. Перед всеми экспериментами образцы сплавов в виде прутков с размерами Ø6×110 мм были подвергнуты закалке (температура нагрева под закалку 800°C) с охлаждением в воде для гомогенизации структуры и удаления термо-механической предыстории. Полученное после закалки состояние было принято за исходное. После этого образцы подвергали прокатке с током до истинных деформаций $e = 0,8; 1,4$ и 3,6, где $e = \ln(S_0/S_K)$, а S_0 и S_K – площадь по-

перечного сечения прутка до и после прокатки. Прокатка велась при комнатной температуре на прокатном стане с калиброванными валками, оборудованном генератором импульсного тока. Использовался следующий режим импульсного тока: плотность тока 100 А/мм², частота 1000 Гц, длительность импульса 120 мкс.

Структура исследовалась в оптическом Axovert 40 MAT и электронном просвечивающем JEM-100B микроскопах. Температуры

марктенситных превращений (табл. 1) определялись методом дифференциальной сканирующей калориметрии (ДСК) на приборе METTLER TOLEDO 822 с циклом «охлаждение-нагрев» от -100° до +100°C.

К функциональным свойствам сплава, определяемым в настоящей работе, относятся: обратная деформация $\varepsilon_{обр}$ (величина остаточной деформации после разгрузки и восстановившейся после нагрева) и коэффициент восстановления

Таблица 1

Температуры марктенситных превращений

Обработка	Ti _{49,2} Ni _{50,8}				Ti _{50,0} Ni _{50,0}			
	Прямое марктенситное превращение	Обратное марктенситное превращение	Прямое марктенситное превращение	Обратное марктенситное превращение				
	M _h , °C	M _k , °C	A _h , °C	A _k , °C	M _h , °C	M _k , °C	A _h , °C	A _k , °C
Закалка с 800°C (1час) в воду	-4 (B2→B19')	-37	-5	16	45(B19'→B2)	25	58	77
Исходное + отжиг при 450°C	29 (B2→R)	19	33	41	44(B19'→B2)	24	60	84
	-5 (R→B19')	-14						
Исходное + отжиг при 500°C	18 (B2→R)	2	27	42	46(B19'→B2)	30	58	77
	-12 (R→B19')	-26						
Прокатка с током e = 0,8 + отжиг при 450°C	28 (B2→R)	16	25	41	40 (B2→R)	30	46	65
	-14 (R→B19')	-38			20 (R→B19')	-2		
Прокатка с током e = 0,8 + отжиг при 500°C	24 (B2→R)	11	17	31	36 (B2→R)	-	52	70
	-17 (R→B19')	-40			-8(R→B19')	7		
Прокатка с током e = 1,2(1,4) + отжиг при 450°C	28 (B2→R)	21	25	38	41(B2→R)	35	59	14
	-8 (R→B19')	-28			13 (R→B19')	-1		
Прокатка с током e = 1,2(1,4) + отжиг при 500°C	22 (B2→R)	12	19	31	37(B2→R)	13	70	19
	-16 (R→B19')	-34			10 (R→B19')	-1		
Прокатка с током e = 3,6 + отжиг 450°C	-	-	-	-	41(B2→R)	29	47	66
					18 (R→B19')	2		
Прокатка с током e = 3,6 + отжиг 500°C	-	-	-	-	40(B2→R)	30	51	65
					28 (R→B19')	17		

M_h – температура начала прямого (B2→B19') марктенситного превращения

M_k – температура конца прямого (B2→B19') марктенситного превращения

A_h – температура начала обратного (B19'→B2) марктенситного превращения

A_k – температура конца обратного (B19'→B2) марктенситного превращения

деформации K (процентное отношение величины обратимой деформации к величине остаточной деформации после разгрузки) при проявлении эффекта памяти формы (ЭПФ); температурный интервал и обратимая деформация сверхупругого возврата (деформация, самопроизвольно восстанавливаясь после снятия нагрузки).

Для определения функциональных свойств предварительно прокатанные образцы длиной 25 мм были подвергнуты отжигу при 450° и 500°C. Затем образцы охлаждали жидким азотом ниже температуры M_k для получения мартенситного состояния и деформировали в испытательной машине Lloyd 30k Plus по схеме трехточечного изгиба до максимальной деформации $\varepsilon = 10\%$. При этом испытании измеряли величину приложенной силы и максимальный прогиб. Максимальная линейная деформация при изгибе приближенно рассчитывалась, считая радиус оси изогнутого образца постоянным по всей длине образца, по формулам:

$$\varepsilon = d/(2R), \quad (1)$$

$$R = f/2 + L^2/(8f), \quad (2)$$

где d – диаметр образца; R – радиус оси изогнутого образца; f – максимальный прогиб; L – рабочая длина образца.

Рабочая длина образца $L = 15$ мм, диаметр образца зависел от предварительной истинной деформации прокаткой: при $e = 0,8$ испытывался образец $d = 4$ мм; при $e = 1,4$ – образец $d = 3$ мм; при $e = 3,6$ – образец $d = 1$ мм.

После разгрузки фиксировали величину остаточного прогиба, а образцы нагревали до температуры A_k в свободном состоянии для получения эффекта памяти формы. Нагрев осуществлялся пропусканием электрического тока, а контроль температуры – с помощью присоединенной к образцу термопары. Для определения величины обратимой деформации $\varepsilon_{\text{обр}}$ в процессе нагрева строили зависимость «деформация-температура». В интервале температур обратного мартенситного превращения образец демонстрировал восстановление формы, а величина $\varepsilon_{\text{обр}}$ определялась путем построения касательных к полученной кривой там, где наблюдались перегибы.

Поскольку обратимая деформация является зависимой величиной (зависит от величины максимальной деформации, полученной при изгибе образца), для сравнения проявления эф-

фекта памяти формы от предварительной обработки был произведен расчет коэффициента восстановления деформации K .

Для исследования величины и температурного интервала сверхупругости (способности самопроизвольно восстанавливать деформацию после снятия нагрузки) образцы также деформировали методом трехточечного изгиба при температурах выше A_k с промежуточными разгрузками с шагом 500 Н. Сверхупругое поведение образца фиксировали в случае нелинейной разгрузки и отсутствия остаточного прогиба на полученной зависимости «сила–прогиб».

Экспериментальные результаты

Рассмотрим проявление ЭПФ исследуемыми образцами сплавов $Ti_{49,8}Ni_{50,2}$ и $Ti_{50,0}Ni_{50,0}$ в исходном (закаленном) состоянии. Оба сплава демонстрируют схожее поведение при нагружении и разгрузке образца, максимальный остаточный прогиб при снятии нагрузки составляет $\approx 0,59$ мм (рис. 1). Рассчитанная по формуле (1) максимальная деформация составляет $\varepsilon \approx 5,75\%$. Эта величина слабо зависит от постдеформационного отжига. При нагреве после разгрузки за счет проявления обратного мартенситного превращения (мартенсит \rightarrow аустенит) сплавы демонстрируют эффект восстановления остаточной деформации, при этом обратимая деформация составляет 2,5–3,5% для сплавов обоих составов.

В образцах после прокатки с током и отжига величина $\varepsilon_{\text{обр}}$ повышается в 2–2,5 раза (рис. 2). На рисунке видно, что при нагреве происходит

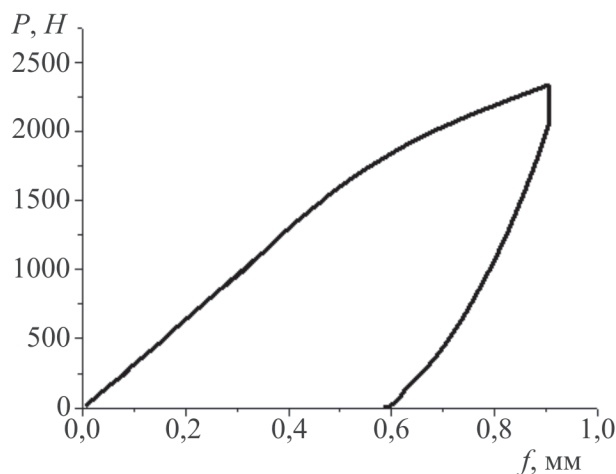


Рис. 1. Зависимость максимального прогиба (f) от нагрузки (P) при нагружении и разгрузке образца в закаленном состоянии

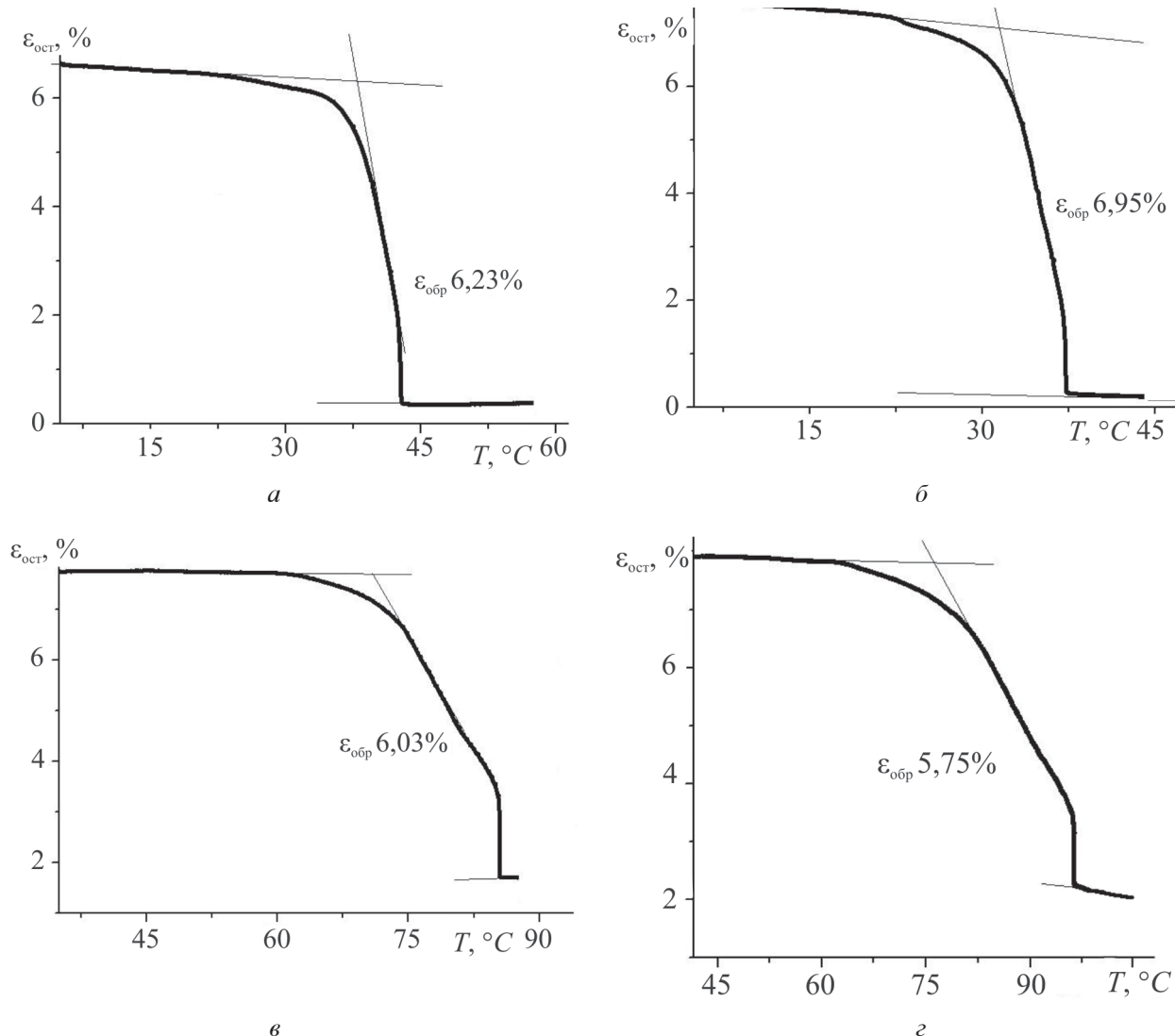


Рис. 2. Величины обратимой деформации образцов сплавов на основе TiNi в состоянии после прокатки с током и отжига:
 α – сплав $Ti_{49,2}Ni_{50,8}$, $e = 1,2$, $T_{отж} = 450^\circ C$; β – сплав $Ti_{49,2}Ni_{50,8}$, $e = 1,2$, $T_{отж} = 500^\circ C$; γ – сплав $Ti_{50,0}Ni_{50,0}$, $e = 1,4$, $T_{отж} = 450^\circ C$; δ – сплав $Ti_{50,0}Ni_{50,0}$, $e = 1,4$, $T_{отж} = 500^\circ C$

уменьшение максимальной остаточной деформации изгиба ввиду того, что образцы стремятся принять исходную форму. Можно отметить, что сплав $Ti_{49,2}Ni_{50,8}$ обладает большей величиной $\varepsilon_{обр}$ (рис. 2 α, β) по сравнению со сплавом $Ti_{50,0}Ni_{50,0}$ (рис. 2 γ, δ) при одной и той же температуре отжига.

Зависимости коэффициента восстановления от истинной деформации при прокатке с током для сплавов обоих составов приведены на рис. 3. Видно, что с увеличением e коэффициент K возрастает независимо от состава сплава. Однако характер этого возрастания различный: в сплаве $Ti_{49,2}Ni_{50,8}$ увеличение K близко к линейному (рис. 3 α, β), в сплаве

$Ti_{50,0}Ni_{50,0}$ при достижении $e \approx 0,8–1,0$ наблюдается насыщение (рис. 3 γ, δ).

Сплав, обогащенный никелем, демонстрирует большие значения коэффициента восстановления деформации (90–96%) (см. рис. 3 α, β), чем сплав эквиатомного состава (70–80%) (см. рис. 3 γ, δ). Заметное различие связано со структурными особенностями сплава $Ti_{49,2}Ni_{50,8}$, который является стареющим при температурах 450–500°C. Выделяющиеся при старении частицы Ti_3Ni_4 создают дополнительные напряжения в матрице, чем затрудняют процесс деформирования по механизму дислокационного скольжения (необратимый механизм) и увеличивают долю обратимой деформации. При сравнении величин коэффициента восстановления деформации в образцах, отли-

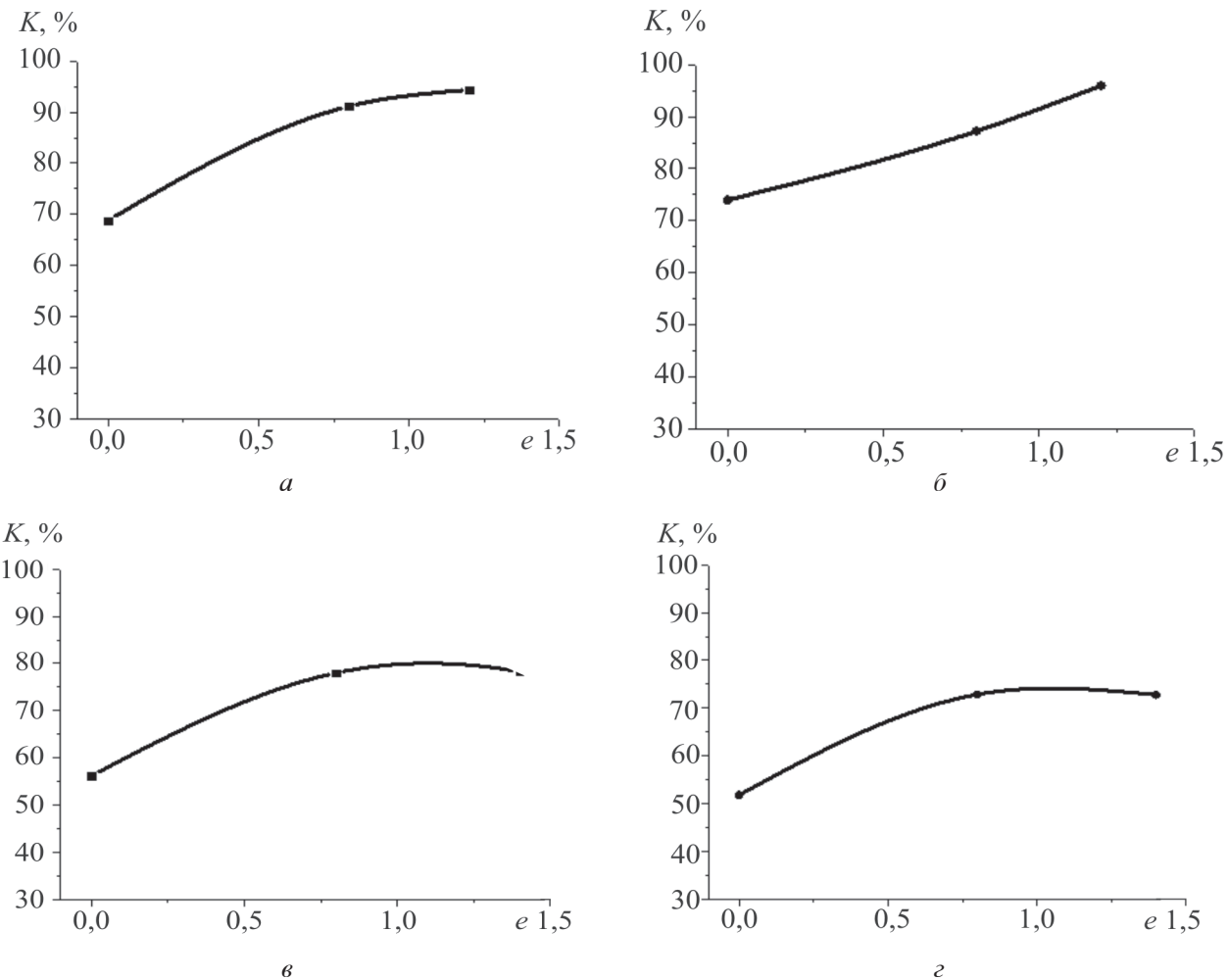


Рис. 3. Зависимости коэффициента восстановления деформации (K) от величины истинной деформации (e) при прокатке с током:

$\alpha - \text{Ti}_{49,2}\text{Ni}_{50,8}, T_{\text{отж}} = 450^\circ\text{C}; \beta - \text{Ti}_{49,2}\text{Ni}_{50,8}, T_{\text{отж}} = 500^\circ\text{C}; \gamma - \text{Ti}_{50,0}\text{Ni}_{50,0}, T_{\text{отж}} = 450^\circ\text{C}; \delta - \text{Ti}_{50,0}\text{Ni}_{50,0}, T_{\text{отж}} = 500^\circ\text{C}$

чающихся температурой отжига (450° или 500°C), не наблюдается значительных различий.

Рассмотрим структурные особенности полученных с помощью прокатки с током состояний. Прокатка с током и последующий отжиг способствует сильному измельчению зерен по сравнению с исходной недеформированной структурой. Так, при $e = 1,2$ и отжиге при $T = 500^\circ\text{C}$ в сплаве $\text{Ti}_{49,2}\text{Ni}_{50,8}$ образуется нанокристаллическая структура с размерами зерен 50–70 нм (рис. 4, a). Меньшая деформация (до $e = 0,8$) с тем же температурным режимом отжига приводит к появлению зерен большего размера (150–200 нм) (рис. 4, b). Вероятно, этот факт может объяснить меньшую долю восстановления при $e = 0,8$ по сравнению с $e = 1,2$ в отожженном сплаве $\text{Ti}_{49,2}\text{Ni}_{50,8}$ (см. рис. 3 α, β). Изменение температуры отжига не оказывает влияния на величины коэффициента восстановления деформации в этом сплаве.

Сплав $\text{Ti}_{50,0}\text{Ni}_{50,0}$ характеризуется мелкозернистой структурой как после прокатки с током и отжига при $T = 450^\circ\text{C}$ (80 нм), так и после $T = 500^\circ\text{C}$ (120–150 нм) (рис. 5 a, b). Как видно, такое увеличение размера зерна сказывается на коэффициенте восстановления деформации незначительно, заметно его повышение в пределах 5–10% (рис. 2 γ, δ).

Рассмотрим проявление эффекта сверхупругости. Результаты исследования показали, что в сплаве $\text{Ti}_{50,0}\text{Ni}_{50,0}$ благодаря сильному измельчению структурных элементов возможно проявление сверхупругого поведения, которое не наблюдается при других условиях [5, 6]. В настоящей работе этот эффект был обнаружен только на образцах, прокатанных с током до $e = 3,6$ и отожжённых при 450°C (рис. 6, a). Прогиб 0,8 мм полностью восстанавливается при снятии нагрузки, что соответствует величине обратимой деформации сверхупругого

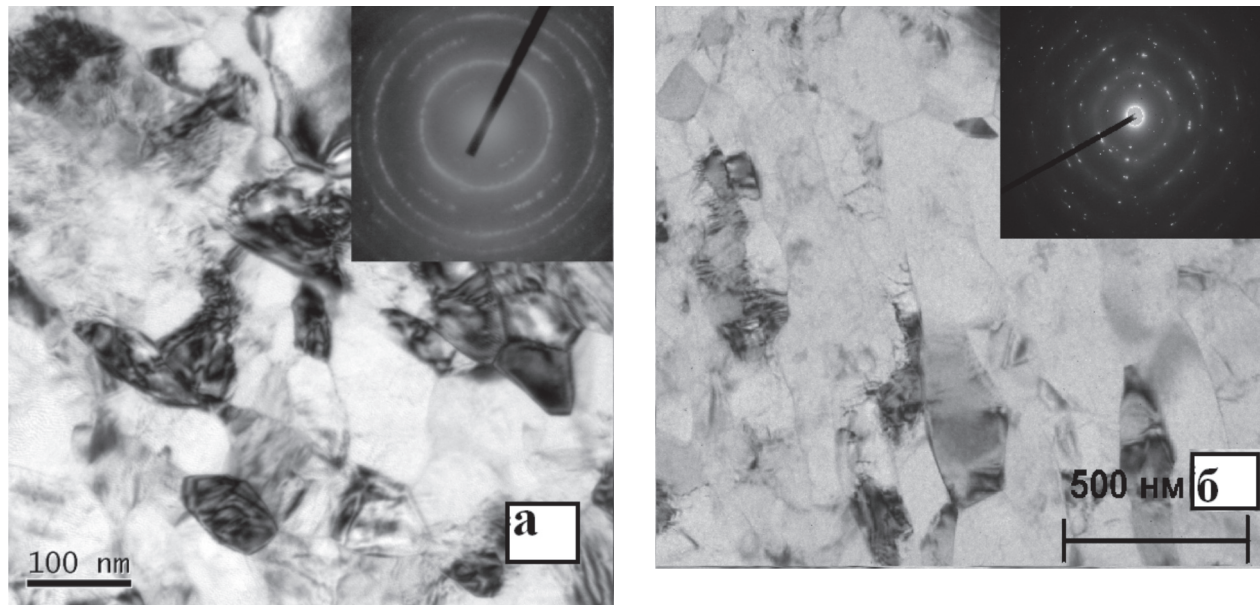


Рис. 4 Микроструктура сплава Ti49,2Ni50,8 после прокатки с током и отжига при 500°C:
а – $e = 1,2$; б – $e = 0,8$; и соответствующие картины электронной микродифракции (в правом углу)

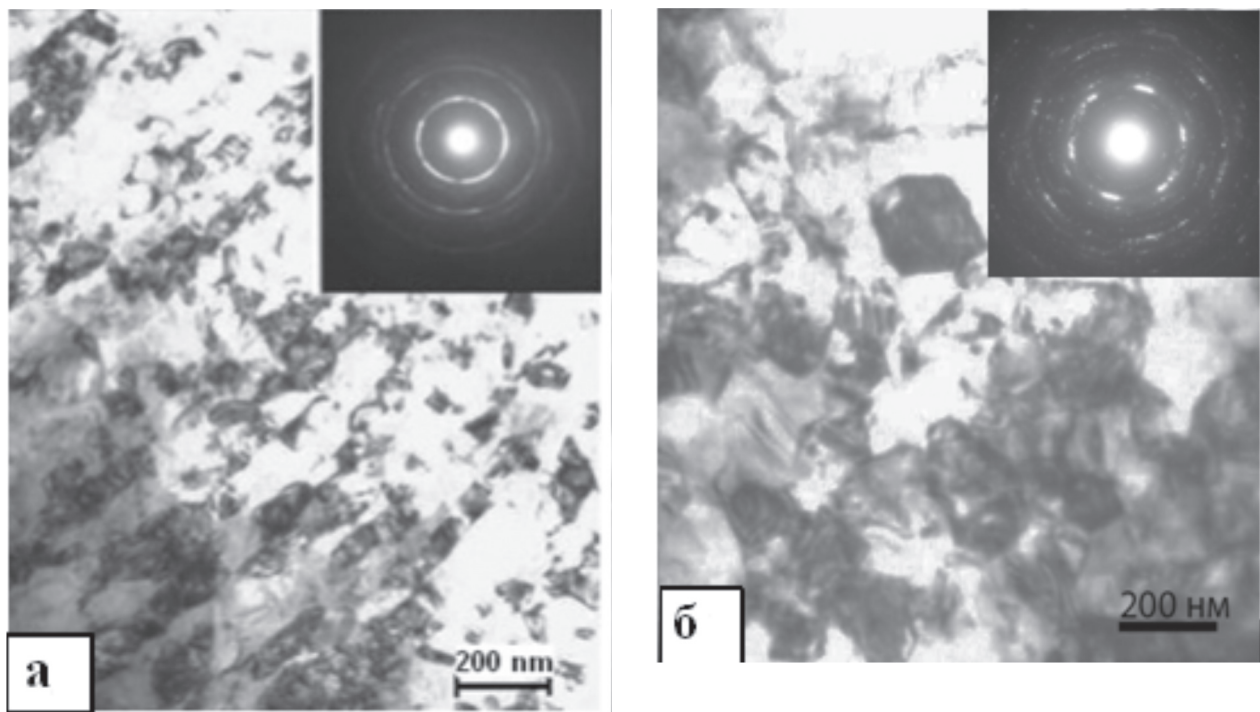


Рис. 5. Микроструктура сплава Ti50,0Ni50,0 после прокатки с током ($e = 1,4$) и отжига:
а – 450°C; б – 500°C; и соответствующие картины электронной микродифракции (в правом углу)

возврата 1,5%. При дальнейшем нагружении эффект становится несовершенным (деформация восстанавливается не полностью, а при разгрузке наблюдается остаточный прогиб). Сверхупругое поведение наблюдалось в интервале температур 65–100°C. Во всех остальных

образцах сплава этого состава эффект сверхупругости обнаружен не был. Вероятно, этот факт может быть связан с тем, что в исследуемых образцах благодаря интенсивной прокатке с током до $e = 3,6$ величина дислокационного предела текучести оказалась больше, чем ве-

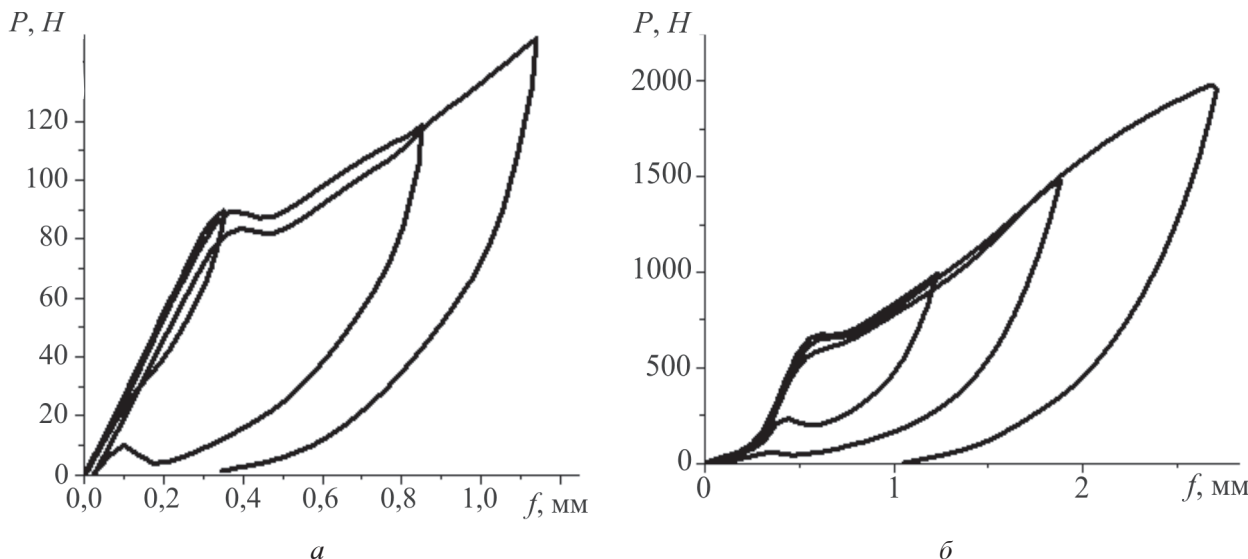


Рис. 6. Сверхупругое поведение образцов при нагружении и разгрузке предварительно прокатанных с током и последующим отжигом при 450°C:

а – сплав $Ti_{50,0}Ni_{50,0}$, $e = 3,6$ температура испытания $T = 85^{\circ}C$;

б – сплав $Ti_{49,2}Ni_{50,8}$; $e = 1,2$, температура испытания $T = 48^{\circ}C$

личина напряжения, необходимого для инициирования прямого мартенситного перехода. В этом случае при увеличении напряжения деформирование за счет обратимого фазового перехода оказывается предпочтительнее деформирования за счет дислокационного течения, вследствие чего при разгрузке наблюдается сверхупругий возврат.

В сплаве $Ti_{49,2}Ni_{50,8}$ явление сверхупругости обнаружено во всех исследуемых образцах. Величина обратимой деформации сверхупругого возврата достигала 9% (соответствующий прогиб $\approx 1,8$ мм) в образце после прокатки с током до $e = 1,2$ и отжига при $450^{\circ}C$ (рис. 6, б). Сверхупругость проявлялась во всех исследуемых образцах в интервале температур $A\alpha - A\alpha + 20^{\circ}C$. При дальнейшем повышении температуры наблюдаемый эффект сверхупругого поведения становился несовершенным.

Заключение

Проведенное исследование показало, что прокатка с одновременным воздействием импульсного тока является эффективным способом управления структурой сплавов с памятью формы на основе TiNi. Так, прокатка с током до $e > 1$ и последующий отжиг при температуре $450-500^{\circ}C$ приводят к формированию в этих сплавах наноструктуры с размерами зерен 60–120 нм. В свою очередь, существенное измельчение структурных элементов по-

зволяет повысить коэффициент восстановления деформации сплавов на основе TiNi по сравнению с исходным недеформированным состоянием до 90–96% в сплаве, обогащенном никелем, и до 75–80% – в сплаве эквиатомного состава. При этом наиболее значимым результатом является обнаружение в сплаве $Ti_{50,0}Ni_{50,0}$ эффекта сверхупругого поведения после предварительной прокатки с током до $e = 3,6$ и отжига при $T = 450^{\circ}C$.

Список литературы

1. Prokoshkin S.D., Brailovski V., Khmelevskaya IYu, Inaekyan KE, Demers V, Dobatkin SV, Tatyanyin E.V. Structure and Properties of severely cold-rolled and annealed Ti-Ni shape memory alloys // Mater. Sci. Eng. 2008. Vol. 481–482. P. 114–118.
2. Tsuchiya K., Inuzuka M., Tomus D., Hosokawa A. Martensitic transformation in nanostructured TiNi shape memory alloy formed via severe plastic deformation // Mater. Sci. Eng. 2006. Vol. 438–440. P. 643–648.
3. Stolyarov V. Nanostructured Shape Memory TiNi Alloy Processed by Severe Electroplastic Deformation // Materials Science Forum. 2008. Vol. 584–586. P. 507–512.
4. Potapova A.A., Stolyarov V.V. Deformability and structural features of shape memory TiNi alloys processed by rolling with current // Mater. Sci. Eng. 2013. Vol. 579. P. 114–117.

5. Гюнтер В.Э. и др. Никелид титана. Медицинский материал нового поколения. – Томск: МИЦ, 2006. – 296 с.
6. Ооцука К. и др. Сплавы с эффектом памяти формы / Пер. с япон. – М: Металлургия, 1990. – 224 с.

Материал поступил в редакцию 13.01.14

ПОТАПОВА
Анна Александровна

E-mail: **ls3216@yandex.ru**
Тел.: **(926) 108-06-34**

Научный сотрудник лаборатории комплексных физико-механических исследований ИМАШ РАН, аспирант ФГБОУ ВПО МГИУ. Сфера научных интересов: физическое материаловедение, сплавы с памятью формы, объемное наноструктурирование сплавов. Автор 15 научных работ.

СТОЛЯРОВ
Владимир
Владимирович

E-mail: **vlstol@mail.ru**
Тел.: **(495) 623-42-37**

Доктор технических наук, профессор. Главный научный сотрудник ИМАШ РАН. Сфера научных интересов: физическое материаловедение, наноструктурные материалы. Автор более 300 научных работ.